

# Устойчивые методы вычисления обратной матрицы Вандермонда в методе Арнольди

Артём Шейнов, Марк Миргалеев, Максим Смирнов

November 6, 2023

# Оператор Купмана

Динамическая система, развивающаяся на многообразии  $\mathbb{M}$

$$x_{k+1} = f(x_k), k \in \mathbb{Z}, x_k \in \mathbb{M}, f : \mathbb{M} \rightarrow \mathbb{M}$$

Оператор Купмана - это линейный оператор  $U$ , который действует на скалярно-значные функции на следующем образом: для любой скалярно-значной функции  $g : \mathbb{M} \rightarrow \mathbb{R}^p$ ,  $U$  преобразует  $g$  в новую функцию  $Ug$ , заданную оператором :

$$U(g(x)) = g(f(x))$$

# Собственные значения и векторы оператора Купмана

$\phi_j(x) : \mathbb{M} \rightarrow \mathbb{R}$  - собственная функция,  $\lambda_j \in \mathbb{C}$  - собственное значение Оператора Купмана:

$$U\phi_j(x) = \lambda_j\phi_j(x), j = 1, 2, \dots$$

Если каждая из  $p$  компонент  $g$  лежит в интервале области значений  $\phi_j(x)$ , то мы можем расширить векторную величину  $g$  в терминах этих собственных функций:

$$g(x) = \sum_{j=1}^{\infty} \phi_j(x) v_j, v_j \in \mathbb{R}^p$$

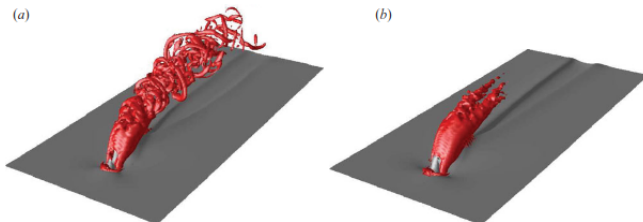
$$g(x_k) = \sum_{j=1}^{\infty} U^k \phi_j(x_0) v_j = \sum_{j=1}^{\infty} \lambda_j^k \phi_j(x_0) v_j$$

$v_j$  - мода Купмана, отвечающая собственной функции  $\phi_j(x)$

# Приложения оператора Купмана и разложения на моды в физике

- ▶ Гидрогазодинамика
- ▶ Эпидемиология
- ▶ Нейронауки
- ▶ Обработка видео
- ▶ Энергосистемы
- ▶ Организация дорожного движения
- ▶ Транспорт
- ▶ Робототехника
- ▶ Финансы
- ▶ Физика плазмы

# Струя в перекрестном потоке



Конфигурация "струя в перекрестном потоке" встречается в различных приложениях и представляет собой распространенный способ смешивания струйной жидкости, подаваемой через отверстие, с равномерным поперечным потоком.

## Линейный случай

$$f(x) = Ax, \mathbb{M} = \mathbb{R}^n$$

$\lambda_j, v_j$  - собственные значения и векторы  $A$ :

$$Av_j = \lambda_j v_j, j = 1, 2, \dots, n$$

Определим векторы  $\omega_j$ , как собственные векторы оператора  $A^*$  ( $A^* \omega_j = \overline{\lambda_j} \omega_j$ ). Тогда собственными функциями оператора  $U$  будут:

$$\phi_j(x) = (x, \omega_j), j = 1, 2, \dots, n$$

$$U\phi_j(x) = \phi_j(Ax) = (Ax, \omega_j) = (x, A^* \omega_j) = \lambda_j (x, \omega_j) = \lambda_j \phi_j(x)$$

# Алгоритм Арнольди для линейных систем

Предположим, что имеется линейная динамическая система

$$x_{k+1} = Ax_k$$

где  $x_k \in \mathbb{R}^n$ , причем  $n$  настолько велико, что мы не можем вычислить собственные значения  $A$  напрямую.

$$K = [x_0 \ Ax_0 \ A^2x_0 \ \dots \ A^{m-1}x_0], m$$

Сначала рассмотрим частный случай, когда  $m$ -я итерация  $x_m$  является линейной комбинацией предыдущих итераций.

$$x_m = Ax_{m-1} = c_0x_0 + c_1x_1 + \dots + c_{m-1}x_{m-1} = Kc, c = (c_0, c_1, \dots, c_{m-1})^T$$

Отсюда следует:

$$AK = KC$$

# Алгоритм Арнольди для линейных систем

$$C = \begin{pmatrix} 0 & 0 & \dots & 0 & c_0 \\ 1 & 0 & \dots & 0 & c_1 \\ 0 & 1 & \dots & 0 & c_2 \\ \vdots & \vdots & \ddots & \vdots & \vdots \\ 0 & 0 & \dots & 1 & c_{m-1} \end{pmatrix}$$

Пусть  $a, \lambda$  :

$$Ca = \lambda a \Rightarrow AKa = KCa = \lambda Ka$$

Собственные значения матрицы  $C$  лежат в области собственных значений оператора  $A$ , собственные векторы  $A$ , отвечающие этим собственным значениям -  $Ka$ , где  $a$  - собственный вектор  $C$ .



# Алгоритм Арнольди для линейных систем

В более общем случае, если  $m$ -ая итерация не является линейной комбинацией предыдущих итераций, то вместо равенства имеем остаток

$$r = x_m - KC$$

который минимизируется при выборе  $c$  таким образом, что  $r$  ортогонален области  $\text{span}\{x_0, \dots, x_{m-1}\}$ . В этом случае соотношение принимает вид

$$AK = KC + re^T, e = (0, \dots, 1) \in \mathbb{R}^m.$$

Тогда собственные значения  $C$  являются приближенными собственными значениями  $A$ , называемыми значениями Ритца а соответствующие приближенные собственные векторы задаются  $v = Ka$  и называются векторами Ритца. векторами Ритца.

## Алгоритм Арнольди

Важной особенностью приведенного алгоритма является то, что он не требует явного знания матрицы  $A$ . Все, что требуется, - это последовательность векторов, приведенная ниже. Рассмотрим последовательность  $\{x_0, \dots, x_m\}$ , где  $x_j \in \mathbb{R}^n$ . Определим эмпирические значения Ритца  $\lambda_j$  и эмпирические векторы Ритца  $v_j$  этой последовательности по следующему алгоритму:

(i) Определим  $K$  и найдем константы  $c_j$  такие, что:

$$r = x_m - \sum_{j=0}^{m-1} c_j x_j = x_m - Kc, r \perp \text{span}\{x_0, \dots, x_{m-1}\}$$

(ii) Определите матрицу  $C$  и найдем ее собственные значения и собственные векторы:

$$C = T^{-1} \Lambda T$$

(iii) Определим  $v_j$  как столбцы  $V = KT^{-1}$ .

# Матрица Вандермонда в методе Арнольди

Теорема 1. Рассмотрим набор данных  $\{x_0, \dots, x_m\}$ , и пусть  $\lambda_j$ ,  $v_j$  - эмпирические значения Ритца и векторы этой последовательности. Предположим, что  $\lambda_j$  различны. Тогда

$$x_k = \sum_{j=1}^m \lambda_j^k v_j, k = 0, \dots, m-1$$

$$x_m = \sum_{j=1}^m \lambda_j^m v_j + r$$

## Матрица Вандермонда в методе Арнольди

$$K = [x_0 \dots x_{m-1}] = [v_1 \dots v_m] \begin{pmatrix} 1 & \lambda_1 & \lambda_1^2 & \dots & \lambda_1^{m-1} \\ 1 & \lambda_2 & \lambda_2^2 & \dots & \lambda_2^{m-1} \\ \vdots & \vdots & \vdots & \ddots & \vdots \\ 1 & \lambda_m & \lambda_m^2 & \dots & \lambda_m^{m-1} \end{pmatrix}$$

Крайняя правая матрица является матрицей Вандермонда, которую мы обозначим  $T$ . Отметим, что матрица Вандермонда и матрица  $C$  тесно связаны между собой, так как  $T$  диагонализует матрицу  $C$ , при условии, что собственные значения  $\lambda_1, \dots, \lambda_m$  различны. То есть  $T$  - это как раз матрица  $T$  из (iii) алгоритма Арнольди

# Проблема нахождения обратной матрицы Вандермонда

$$V = \begin{pmatrix} 1 & \lambda_1 & \lambda_1^2 & \dots & \lambda_1^{m-1} \\ 1 & \lambda_2 & \lambda_2^2 & \dots & \lambda_2^{m-1} \\ \vdots & \vdots & \vdots & \ddots & \vdots \\ 1 & \lambda_m & \lambda_m^2 & \dots & \lambda_m^{m-1} \end{pmatrix}$$
$$\|V\|_2 \|V^{-1}\|_2 \gg 1$$

Матрицы Вандермонда плохо обусловлены.

**Наша цель: Изучить и продемонстрировать устойчивые методы вычисления  $V^{-1}$**

# Точная формула обратной матрицы Вандермонда

$$V_{kj}^{-1} = \begin{cases} (-1)^{k-1} \frac{\sum_{\substack{1 \leq m_1 < \dots < m_{n-k} \leq n, \\ m_1, \dots, m_{n-k} \neq j}} \lambda_{m_1} \dots \lambda_{m_{n-k}}}{\prod_{\substack{1 \leq m \leq n, \\ m \neq j}} (\lambda_j - \lambda_m)}, & 1 \leq k < n \\ \frac{1}{\prod_{\substack{1 \leq m \leq n, \\ m \neq j}} (\lambda_m - \lambda_j)}, & k = n \end{cases}$$

# Алгоритмы Эйзенберга и Федея

Алгоритм PEF (Модифицированный алгоритм Паркера-Трауба)

(1) Вычисляем  $\sigma(n, s)$  для  $s = 0, 1, \dots, n$  (для числителя)

(2) Вычисляем  $\phi(n, j)$  для  $j = 1, \dots, n$  (для знаменателя)

(3) Вычисляем  $\psi(n, i, j)$  для  $i, j = 1, \dots, n$  (для числителя)

(4) Вычисляем  $j$ -ый столбец  $\psi_{PEF}(n, i, j)\phi(n, j)$  для  $j = 1, \dots, n$

Сложность:  $\mathcal{O}(n^2)$

Алгоритм EF

(1) Вычисляем  $\phi(n, j)$  для  $j = 1, \dots, n$  (для знаменателя)

(2) Вычисляем  $\psi(n, i, j)$  для  $i, j = 1, \dots, n$  (для числителя)

(3) Вычисляем  $j$ -ый столбец  $\psi_{EF}(n, i, j)\phi(n, j)$  для  $j = 1, \dots, n$

Сложность:  $\mathcal{O}(n^3)$

## Вычисление $\sigma(m, s)$

$$\sigma(m, s) = \sigma(m - 1, s) + \lambda_m \sigma(m - 1, s - 1), m, s \in \mathbb{Z}$$

$$\sigma(m, 0) = 1, m = 0, 1, 2, \dots$$

$$(s < 0) \vee (m < 0) \vee (s > m) \rightarrow \sigma(m, s) = 0$$



## Вычисление $\phi(i, j)$

$$\phi(m+1, s) = \frac{\phi(m, s)}{\lambda_{m+1} - \lambda_s}, m \in \mathbb{Z}, s = 1, 2, \dots, m$$

$$\phi(m+1, m+1) = \prod_{k=1}^m \frac{1}{\lambda_{m+1} - \lambda_k}$$

$$\phi(2, 1) = \phi(2, 2) = \frac{1}{\lambda_2 - \lambda_1}$$

## Вычисление $\psi(n, i, j)$ для алгоритмов PEF и EF

$$\psi_{PEF}(n, i-1, j) = \lambda_j \psi(n, i, j) - (-1)^{i+j} \sigma(n, n+1-i)$$

$$\psi_{PEF}(n, n, j) = (-1)^{i+j}, i = n, n-1, \dots, 2; j = 1, 2, \dots, n$$

$$\psi_{EF}(n, i, j) = (-1)^{i+j} v_j(n, n-1), i, j = 1, 2, \dots, n$$

## Индексы ошибок

Хотим получить наиболее быстрое и наилучшее решение в терминах точности вычисления матриц Вандермонда, точность оцениваем по следующим метрикам:

$$e_2 = \frac{\|W_e - W_n\|_2}{\|W_e\|_2}, (T)$$

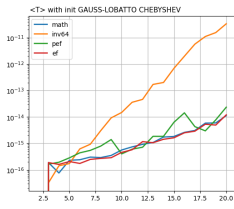
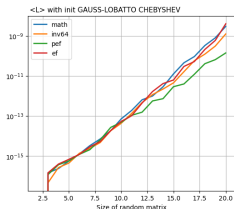
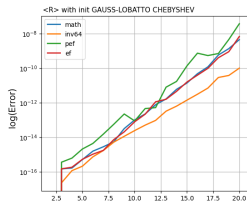
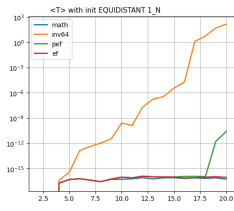
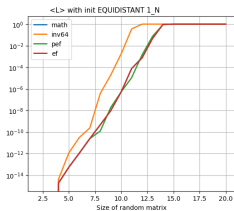
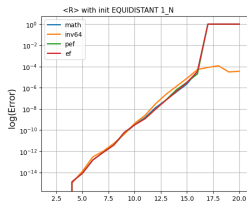
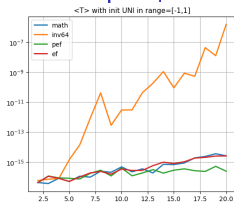
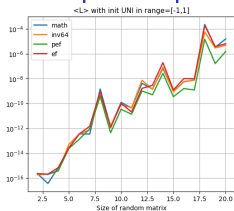
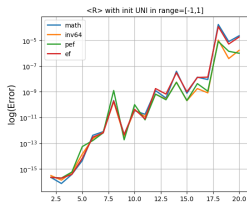
$$e_L = \frac{\|W_n V - I_n\|_2}{\|W_n V\|_2}, (L)$$

$$e_R = \frac{\|V W_n - I_n\|_2}{\|V W_n\|_2}, (R)$$

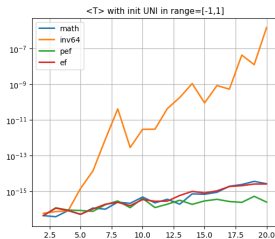
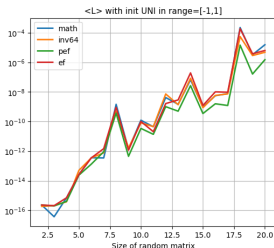
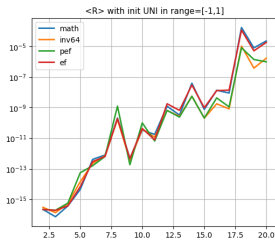
$W_e$  - обратная матрица, вычисленная с точностью float128.

Все замеры были сделаны с размерностями матриц, не превосходящими 20. При большей размерности нет возможности построить точную матрицу Вандермонда, так как число полностью не уместается в размер float64.

# Зависимость ошибки от размерности матрицы

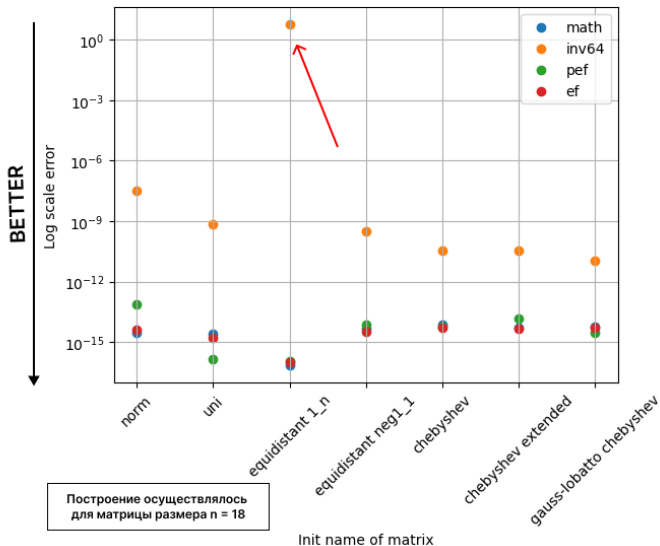


# Зависимость ошибки от размерности матрицы

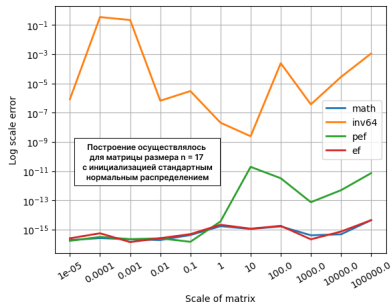
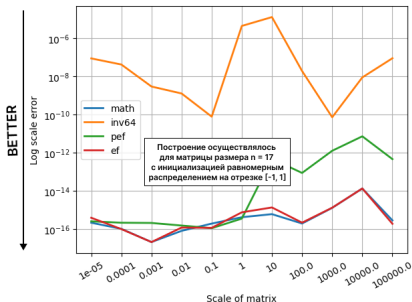


В индексах L,R алгоритмы EF и PEF не сильно отличаются от обычного метода инверсии из numpy. Но в индексе T превосходят его на несколько порядков.

# Зависимость ошибки от значений вектора, определяющего матрицу Вандермонда



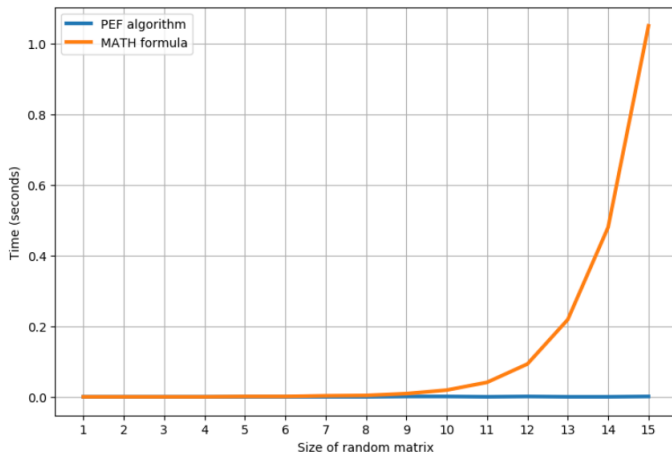
# Зависимость ошибки от порядка значений в векторе



При увеличении нормы матрицы Вандермонда производительность PEF снижается.

В будущем предлагается использовать адаптивный метод, реализующий PEF или EF в зависимости от нормы матрицы Вандермонда.

# Демонстрация скорости алгоритма PEF



PEF работает за  $\mathcal{O}(n^2)$  в отличие от других алгоритмов.



# Максимальная ошибка методов

Method	T-error Uniform average	T-error Uniform max	T-error Normal average	T-error Normal max
Inv64	1.8486e-09	2.3239e-08	7.2256e-4	1.9920e-2
Math	8.4972e-16	1.6684e-15	<b>1.5738e-15</b>	<b>2.8386e-15</b>
EF	9.3508e-16	1.8557e-15	4.6251e-14	5.5283e-13
PEF	<b>2.8129e-16</b>	<b>7.7120e-16</b>	1.6469e-15	6.4774e-15

Замеры производились 30 раз на матрице размера  $n = 15$ .

# Заключение и выводы

## Результаты:

- ▶ Реализовали 2 устойчивых метода обращения матрицы Вандермонда
- ▶ Показали сильную неустойчивость методов обращения пиптру по сравнению с методами PEF и EF
- ▶ Оценили сложность разработанных методов и показали сильное ускорение по сравнению с математическим методом
- ▶ Показали зависимость ошибки от инициализации вектора Вандермонда и масштаба его элементов

## Хотелось бы реализовать:

- ▶ Встроить наши методы в алгоритм Арнольди и посмотреть, как он будет работать на практике (в какой-нибудь физической задаче)

# Материалы

Код на Github:

[Git](#)

Литература:

[Spectral analysis of nonlinear flows](#)

[Applied Koopman operator theory for power systems technology](#)

[Data-Driven Science and Engineering](#)

[On the inversion of the Vandermonde matrix](#)